

บทความปริทัศน์

การเปรียบเทียบความแม่นของเทคนิคการพิมพ์แบบ布拉กเทียมด้วยวิธีดึงเดิมและวิธีดิจิทัลในกรณีภาวะไร้ฟันบางส่วน: การทบทวนวรรณกรรมอย่างเป็นระบบ

The Comparison Between Accuracy of Conventional Versus Digital Implant Impression Techniques in Partial Edentulism: Systematic Review

ณิชกุล เจ็นสหกิจ¹, ประเวศ เสรีเชษฐพงษ์^{2,3}, วรีย์รัตน์ เจิงประภากร¹

Nitchakul Joensahakij¹, Pravej Serichetaphongse^{2,3}, Wareeratn Chengprapakorn¹

¹ภาควิชาทันตกรรมประดิษฐ์ คณะทันตแพทยศาสตร์ จุฬาลงกรณ์มหาวิทยาลัย กรุงเทพมหานคร ประเทศไทย

²Department of Prosthodontics, Faculty of Dentistry, Chulalongkorn University, Bangkok, Thailand

²คณะทันตแพทยศาสตร์, มหาวิทยาลัยสยาม, กรุงเทพมหานคร, ประเทศไทย

²Faculty of Dentistry, Siam University, Bangkok, Thailand

³โรงพยาบาลบำรุงราษฎร์, กรุงเทพมหานคร, ประเทศไทย

³Bumrungrad International Hospital, Bangkok, Thailand

บทคัดย่อ

การวิจัยนี้มีวัตถุประสงค์เพื่อศึกษาความแม่นของเทคนิคการพิมพ์แบบ布拉กเทียม ในกรณีภาวะไร้ฟันบางส่วน เปรียบเทียบระหว่าง เทคนิคการพิมพ์แบบด้วยวิธีดึงเดิมและวิธีดิจิทัลโดยการใช้เครื่องสแกนภายในช่องปาก โดยทำการสืบค้นข้อมูลจากฐานข้อมูล พับเมด สกอปัส และคอกရาน ตั้งแต่ มกราคม พ.ศ. 2543 ถึง มกราคม พ.ศ. 2567 ผลการศึกษารวมพบทั้งหมด 4,544 เรื่อง ผ่านเกณฑ์การคัดเลือก 14 เรื่อง นำมาแบ่งกลุ่มย่อยตามตัวแปรที่ใช้ในการวัดความแม่น เพื่อทำการวิเคราะห์อภิมาน ผลการศึกษาในกลุ่มที่วัดความแม่นโดยการวัดค่า ความแตกต่างของระยะห่างระหว่างรากเทียม พบร่วมกัน ความแม่นของเทคนิคการพิมพ์แบบ布拉กเทียมด้วยวิธีดึงเดิมดีกว่าวิธีดิจิทัล ($p = 0.05$) ส่วนในกลุ่มที่วัดความแม่นโดยการวัดค่าเบี่ยงเบนสามมิติ พบว่า ความแม่นของเทคนิคการพิมพ์แบบ布拉กเทียมด้วยวิธีดิจิทัลดีกว่าวิธีดึงเดิม ($p = 0.007$) โดยสรุป ผลการศึกษาส่วนใหญ่ให้ความแม่นของเทคนิคการพิมพ์แบบ布拉กเทียมด้วยวิธีดึงเดิมดีกว่าวิธีดิจิทัล และ วิธีดิจิทัล ดีกว่าวิธีดึงเดิม จำนวนใกล้เคียงกัน แต่เนื่องจากเทคโนโลยีของเครื่องสแกนภายในช่องปากมีการพัฒนามากขึ้น เป็นปัจจัยหนึ่งที่ส่งผลให้ การศึกษาใน 2-3 ปีหลัง ให้ความแม่นของเทคนิคการพิมพ์แบบ布拉กเทียมด้วยวิธีดิจิทัลดีกว่าวิธีดึงเดิม ในกรณีที่มีจำนวนรากเทียม 2-3 รากเทียม และทำมุกันน้อยกว่า 20 องศา สามารถพิมพ์แบบ布拉กเทียมได้ทั้งวิธีดึงเดิมและวิธีดิจิทัล การศึกษานี้มีข้อเสนอแนะ ให้มีการวัด ความแม่นด้วยวิธีการที่เป็นมาตรฐานแบบเดียวกันเพื่อมากขึ้นในการศึกษาในอนาคตทั้งงานวิจัยนอห้องปฏิบัติการและในห้องปฏิบัติการ เพื่อสามารถนำมาวิเคราะห์อภิมานร่วมกันได้มากยิ่งขึ้น

คำสำคัญ: การพิมพ์แบบด้วยวิธีดึงเดิม, การพิมพ์แบบด้วยวิธีดิจิทัล, ความแม่น, รากเทียม, สภาพไร้ฟันบางส่วน

Abstract

The aim of this systematic review was to compare the accuracy of implant impression techniques between conventional technique and intraoral scanner in partial edentulism. Systematic search was conducted in PubMed, Scopus, and Cochrane, from January 2000 to January 2024. Among the total of 4,544 publications, 14 were selected according to inclusion and exclusion criteria. The sub-grouped meta-analysis was conducted following the accuracy parameters; inter-implant distance deviation favoring conventional techniques ($p = 0.05$), three-dimensional deviation

(trueness and precision) favoring digital techniques ($p = 0.007$). The results found that the numbers of studies were comparable between the studies favoring conventional techniques and the studies favoring digital techniques. However, technologies of intraoral scanner have been developed, resulting in improved accuracy of digital technique. Implant impression with digital techniques tend to performed better accuracy compared to conventional techniques in recent studies of partial edentulism. In case of two to three implants and inter-implant angulation under 20 degrees, both conventional and digital implant impression could be performed. Further studies that perform standardized methodologies both in laboratory and clinical condition are required to conduct meta-analysis.

Keywords: Conventional impression, Digital impression, Accuracy, Dental implant, Partial edentulism

Received date: Apr 2, 2024

Revised date: July 1, 2024

Accepted date: Jul 11, 2024

Doi:

ติดต่อเกี่ยวกับบทความ:

วารีรัตน์ เจิ่งประภากร ภาควิชาทันตกรรมประดิษฐ์ คณะทันตแพทยศาสตร์ จุฬาลงกรณ์มหาวิทยาลัย 34 ถนนอังรีดูนังต์ แขวงวังใหม่ เขตปทุมวัน กรุงเทพมหานคร 10330 ประเทศไทย โทร: 081-755-7558 อีเมล: wchengprapakorn@gmail.com

Correspondence to:

Wareeratn Chengprapakorn, Department of Prosthodontics, Faculty of Dentistry, Chulalongkorn University, 34 Henri-Dunant Road, Wangmai, Patumwan, Bangkok, 10330, Thailand. Tel: 081-755-7558, E-mail: wchengprapakorn@gmail.com

บทนำ

รากเทียม (dental implant) เป็นหนึ่งในทางเลือกของแผนการรักษาสำหรับงานทันตกรรมประดิษฐ์ชนิดติดแน่น (fixed dental prosthesis) เพื่อทดแทนฟันที่สูญเสียไปบริเวณสันเหี้อกร่วง ซึ่งงานทันตกรรมประดิษฐ์บนรากเทียม (implant prosthesis) ที่ดีควรมีความแนบสนิท (passive fit) ระหว่างฟันปลอมและรากเทียม เพื่อให้เกิดความสำเร็จของซึ่งงานในระยะยาว การเกิดความไม่แนบสนิทเป็นผลมาจากการแม่น (accuracy) ของซึ่งงานที่ไม่เพียงพอ^{1,2} ขั้นตอนการพิมพ์แบบ (impression) รากเทียม เป็นขั้นตอนสำคัญในการลอกเลียนจำแนกรากเทียมจากภายในช่องปากเพื่อนำมาสร้างซึ่งงานทันตกรรมประดิษฐ์ การพิมพ์แบบรากเทียมสามารถทำได้หลากหลายวิธีการ ไม่ว่าจะเป็น การพิมพ์แบบรากเทียมด้วยวิธีดึงเดิน (conventional impression) และวิธีดิจิทัล (digital impression) ได้แก่ การใช้เครื่องสแกนภายในช่องปาก (intraoral scanner) ซึ่งมีความสะดวกในการใช้งานทั้งต่อผู้ป่วยและทันตแพทย์

เครื่องสแกนภายในช่องปาก มีองค์ประกอบ 3 ส่วน ได้แก่ การจับภาพ การประมวลผลข้อมูล และภาพสามมิติที่แสดงผล โดยเทคนิคที่ใช้ในการสร้างภาพ ได้แก่ เทคนิคสามเหลี่ยม (triangulation technique) ซึ่งใช้หลักการพีทาโกรัส (Pythagoras) ในการคำนวณระยะทางและมุ่งระหว่างวัดถูก เช่น ซีเรคโอมนิแคม (Cerec omnicam, Sirona, Bensheim, Germany) เป็นต้น เทคนิคถอนโพคลอ

(confocal technique) ซึ่งสร้างภาพจากการโฟกัสร่วมผ่านเลนส์ตามระดับความลึกที่กำหนด แล้วนำมาซ้อนทับกันเป็นภาพสามมิติ เช่น ไอเทโร (iTero, Align Technology Inc, USA) และ ทรีโอส (TRIOS, 3Shape, Denmark) เป็นต้น และเทคนิคแอคทีฟเวฟฟรอนต์ แซมเพลิง (active wavefront sampling) ซึ่งมีการสร้างภาพโดยใช้กล้องหนึ่งตัวและระบบบอร์รูบแสงซึ่งหมุนเป็นวงกลมรอบแกนแสง เช่น ลาวาซีโอเอส (Lava C.O.S., USA) และ ทรูเดฟินิชัน (True Definition, 3M, USA) เป็นต้น^{3,4}

เครื่องสแกนภายนอกช่องปาก (extraoral scanner) นิยมใช้ในการบันทึกในห้องปฏิบัติการ มีความแม่นสูงเมื่อเทียบกับเครื่องสแกนภายในช่องปาก เนื่องจากเครื่องสแกนภายนอกช่องปาก มีจำนวนกล้องและแกนหมุนที่มากกว่า แต่ไม่สามารถบันทึกตำแหน่งรากเทียมจากภายในช่องปากได้โดยตรง และไม่สามารถพกพาได้ทำให้ต้องนำขั้นตอนการพิมพ์แบบด้วยวิธีอื่น และเกิดการสะสมข้อผิดพลาด (errors) เครื่องสแกนภายนอกช่องปากจึงถูกนำมาใช้ในการอ้างอิงสำหรับงานวิจัยในห้องปฏิบัติการ (*in vitro* studies) เพื่อเปรียบเทียบความแม่นระหว่างการพิมพ์แบบรากเทียมด้วยวิธีดึงเดินและเครื่องสแกนภายในช่องปาก.⁵⁻¹⁰

อ้างอิงจาก ISO 572.5-1:2003 ความหมายของความแม่น ประกอบด้วย ความถูกต้อง (trueness) และ ความเที่ยง (precision)

โดย ความถูกต้อง หมายถึง ความแม่นยำของผลลัพธ์ที่ใกล้เคียงกับค่าจริง ส่วน ความเที่ยง หมายถึง ความสามารถในการทำซ้ำได้¹¹ ความแม่นของการพิมพ์แบบรากเทียมสามารถวัดได้จาก ค่าความแตกต่างของระยะห่างระหว่างรากเทียม (inter-implant distance deviation) และค่าเบี่ยงเบนสามมิติ (three-dimensional deviation)¹²⁻¹⁴ มีการศึกษาเปรียบเทียบระหว่างความแม่นในการพิมพ์แบบรากเทียม ด้วยวิธีดึงเดินและวิธีดิจิทัล ในกรณีที่เป็นรากเทียมเดียว พบร่วมทั้ง สองวิธีไม่มีความแตกต่างกันอย่างมีนัยสำคัญ เนื่องจากจำนวนภาพที่นำมาตอกันเป็นภาพสามมิติจากเครื่องสแกนภายในช่องปาก มีจำนวนไม่มาก ทำให้เกิดการสะสมของข้อผิดพลาดน้อย เมื่อเทียบกับกรณีที่เป็นภาวะไร้ฟันบางส่วน (partial edentulism) และภาวะไร้ฟัน (edentulism)^{15,16} การศึกษาเปรียบเทียบความแม่นในการพิมพ์แบบรากเทียม ในกรณีภาวะไร้ฟันบางส่วนและภาวะไร้ฟัน ยังไม่มีข้อมูลที่ชัดเจน มีทั้งการศึกษาที่วิธีดึงเดินมีความแม่นมากกว่า^{17,18} และ วิธีดิจิทัลมีความแม่นมากกว่า^{19,20} มีปัจจัยต่าง ๆ ที่ส่งผลต่อความแม่น ไม่ว่าจะเป็น จำนวน ตำแหน่ง ระยะห่าง และมุนระหว่างรากเทียม ระดับในการพิมพ์แบบ (abutment-level, implant-level) ชนิดของเครื่องสแกน โปรแกรมในการวัดความแม่นและออกแบบชิ้นงาน เป็นต้น^{19,20}

การบททวนวรรณกรรมอย่างเป็นระบบเกี่ยวกับ การเปรียบเทียบความแม่นระหว่างการพิมพ์แบบรากเทียม ด้วยวิธีดึงเดิน และวิธีดิจิทัล ส่วนใหญ่ให้ผลลัพธ์ดึงเดินมีความแม่นที่ดีกว่าวิธีดิจิทัลในกรณีภาวะไร้ฟันบางส่วน และวิธีดิจิทัลมีความแม่นที่ดีกว่าวิธีดึงเดินในกรณีภาวะไร้ฟัน^{16,20} แต่เนื่องจากในปัจจุบัน มีจำนวนการศึกษาที่เกี่ยวข้องกับการเปรียบเทียบความแม่นระหว่างการพิมพ์แบบรากเทียมด้วยวิธีดึงเดินและวิธีดิจิทัล เพิ่มมากขึ้น รวมไปถึง เครื่องสแกนมีการพัฒนาเพิ่มมากขึ้น ผลลัพธ์ที่ได้อาจมีความเปลี่ยนแปลงไป^{7,9,21,22} ในการศึกษานี้จึงมีวัตถุประสงค์เพื่อศึกษา ความแม่นของวิธีการพิมพ์แบบรากเทียมที่สามารถบันทึกตำแหน่ง จากรากในช่องปาก เปรียบเทียบระหว่างการพิมพ์แบบด้วยวิธีดึงเดิน และวิธีดิจิทัลโดยเครื่องสแกนภายในช่องปาก ในกรณีภาวะไร้ฟัน บางส่วน โดยการบททวนวรรณกรรมอย่างเป็นระบบ โดยรวมการศึกษาในห้องปฏิบัติการ สมมติฐานการวิจัย คือ ความแม่นของการพิมพ์

ตารางที่ 1 แสดงคำที่ใช้ในการสืบค้นข้อมูล

Table 1 Search term in database

ฐานข้อมูล	คำที่ใช้ในการสืบค้น
พับเมด	((((((((((jaw, edentulous, partially[MeSH Terms]) OR (dental implants[MeSH Terms])) OR (dental prosthesis, implant supported[MeSH Terms])) AND (dental impression technique[MeSH Terms])) OR (digital impression)) OR (digital scan)) OR (intraoral scanner)) AND (conventional impression)) OR (open-tray impression)) OR (close-tray impression)) OR (transfer impression)) OR (pick-up impression)) AND (impression accuracy)) OR (impression trueness)) OR (impression precision)) AND ((“2000/01/01”[Date – Publication] : “2024/01/31”[Date – Publication]))

แบบ rak เที่ยม ในกรณีภาวะไร้ฟันบางส่วน ด้วยดึงเดินและวิธีดิจิทัล ไม่มีความแตกต่างกัน

วัสดุอุปกรณ์และวิธีการ

การศึกษาเป็นการบททวนวรรณกรรมอย่างเป็นระบบและการวิเคราะห์ภูมิภาค (systematic review and meta-analysis) โดยมีการกำหนดคำสำคัญตามพีโอดีโอ (PICO)²³ ได้แก่ พี (P, Population) คือ ภาวะไร้ฟันบางส่วนที่ต้องการฝังรากเทียม ไอ (I, Intervention) คือ การพิมพ์แบบรากเทียมด้วยวิธีดิจิทัลโดยการใช้เครื่องสแกนภายในช่องปาก ซี (C, Comparison) คือ การพิมพ์แบบรากเทียมด้วยวิธีดึงเดิน และ โอ (O, Outcome) คือ ความแม่นของการพิมพ์แบบรากเทียม

ตารางที่ 1 แสดงคำที่ใช้ในการสืบค้นข้อมูลจากฐานข้อมูล พับเมด (PubMed) สกอปัส (Scopus) และ คอคราน (Cochrane) ตั้งแต่ มกราคม พ.ศ. 2543 ถึง มกราคม พ.ศ. 2567 มีการรวบรวมข้อมูลเข้าสู่โปรแกรมเอนด์โนต์ (Endnote 20, Clarivate Analytics, Philadelphia) และทำการคัดเลือกการศึกษาที่เกี่ยวข้องจาก หัวข้อ บทคัดย่อ และบทความทั้งหมด ตามเกณฑ์การคัดเลือกบทความ (inclusion and exclusion criteria) ตั้งแสดงในตารางที่ 2 โดย อ้างอิงตาม เกณฑ์การรายงานของพีโอดีโอเอสเอ็มเอ (Preferred Reporting Items for Systematic Reviews and Meta-Analyses (PRISMA) Checklist guideline)²³ ซึ่งกระทำโดยผู้วิจัย 2 ท่าน และ มีการประชุมเพื่อหาข้อสรุป เครื่องมือที่ใช้ในการประเมินค่างานวิจัย ได้แก่ คุณภาพเอดิโอเอส-ซี (Quality Assessment of Diagnostic Accuracy Studies-Comparative (QUADAS-C) tool)²⁴ โดยมี การปรับเปลี่ยนคำถามในส่วนที่หนึ่งและสองเพื่อนำมาประยุกต์ใช้ กับการวิจัยนี้

การศึกษาที่ผ่านเกณฑ์การคัดเลือกจะถูกนำมาประเมิน ภาวะความต่าง (heterogeneity) และแบ่งกลุ่มการศึกษาในการวิเคราะห์ภูมิภาค เพื่อลดภาวะความต่าง การวิเคราะห์ภูมิภาคโดย การใช้โปรแกรมวีวามเนเจอร์ (Review Manager, version 5.4, The Cochrane Collaboration) และแสดงผลการศึกษาเป็นแผนภูมิ ต้นไม้ (forest plot) ที่ระดับนัยสำคัญ 0.05

ตารางที่ 1 แสดงคำที่ใช้ในการสืบค้นข้อมูล (ต่อ)

Table 1 Search term in database (cont.)

ฐานข้อมูล	คำที่ใช้ในการสืบค้น
สกอปส์	ALL(jaw, edentulous, partially) OR ALL(dental implants) OR ALL(dental prosthesis, implant supported) AND
ค老公案	ALL(dental impression technique) OR ALL(digital impression) OR ALL(digital scan) OR ALL(intraoral scanner) AND ALL(conventional impression) OR ALL(open-tray impression) OR ALL(close-tray impression) OR ALL(transfer impression) OR ALL(pick-up impression) AND ALL(impression accuracy) OR ALL(impression trueness) OR ALL(impression precision) AND PUBYEAR AFT 1999

ตารางที่ 2 เกณฑ์การคัดเลือกของความ

Table 2 Inclusion and exclusion criteria

เกณฑ์การคัดเข้า	เกณฑ์การคัดออก
<ul style="list-style-type: none"> - การออกแบบการวิจัย เป็น การวิจัยในห้องปฏิบัติการ หรือ การวิจัยเชิงเปรียบเทียบ (comparative study) - ภาวะไร้ฟันบางส่วนที่ต้องการใส่รากเทียม - มีการพิมพ์แบบรากเทียมด้วยวิธีดึงเดิม โดยเทคนิคเปิด หรือ ปิด ถอดพิมพ์ (open-tray or close-tray) ด้วยวัสดุพิมพ์แบบโพลิไวนิล ไซโอกาเซน (polyvinyl siloxane) หรือ พอลิยีเทอร์ (polyether) หรือ ปูนพลาสเตอร์ (plaster) - มีการพิมพ์แบบรากเทียมด้วยวิธีดึงจิ้กทัล โดยใช้เครื่องสแกนภายในช่องปาก - วิธีการวัดความแม่นในกลุ่มที่พิมพ์แบบด้วยวิธีดึงเดิม โดยนำเข้าหล่อม้วน วัดด้วยเครื่องมือวัดสามมิติ หรือ นำมาสแกนด้วยเครื่องสแกนภายนอก ช่องปากและส่งไฟล์เข้าโปรแกรมวิเคราะห์ - วิธีการวัดความแม่นในกลุ่มที่พิมพ์แบบด้วยวิธีดึงจิ้กทัล โดยนำไฟล์ที่ได้จาก การสแกนเข้าโปรแกรมวิเคราะห์ หรือ กลึงขึ้นหล่อออกม้วนวัดด้วย เครื่องมือวัดสามมิติ - การวัดความแม่นของการพิมพ์แบบ ด้วย ค่าความแตกต่างของระยะห่าง ระหว่างรากเทียม หรือ ค่าเบี่ยงเบนสามมิติ 	<ul style="list-style-type: none"> - การออกแบบการวิจัย เป็น รายงานการวิจัยทางคลินิก (clinical report) หรือ การบททวนวรรณกรรม (literature review) - ภาวะไร้ฟันบางส่วนที่ต้องการใส่รากเทียมซึ่งเดียว - มีการพิมพ์แบบรากเทียมด้วยวิธีดึงเดิม ด้วยวัสดุพิมพ์แบบอัลจีโนท (alginate) หรือ พอลิซัลไฟด์ (polysulfide) - ขั้นหล่อที่จากการพิมพ์แบบด้วยวิธีดึงเดิมถูกนำไปสแกนด้วย เครื่องสแกนภายนอกในช่องปาก - ไม่มีกลุ่มที่พิมพ์แบบรากเทียมด้วยวิธีดึงเดิม หรือ วิธีดึงจิ้กทัล ในการเปรียบเทียบความแม่น - ผลลัพธ์ของการวิจัยไม่มีการวัดความแม่นของการพิมพ์แบบรากเทียม

ผลการศึกษา

ผลการศึกษาร่วมพบทั้งหมด 4,544 เรื่อง ผ่านเกณฑ์การคัดเลือก 14 เรื่อง โดยอ้างอิงตามแผนภาพ พิาร์โอเอสเอ็มเอ 2020²⁵ (รูปที่ 1) และผลการประเมินค่างานวิจัยอ้างอิงจาก คิวญูเอดี เอเอส-ซี แสดงในตารางที่ 3 พบว่า มีการศึกษา 2 เรื่อง ที่มีความเสี่ยง ต่อการมีอคติสูง (high risk of bias) ในส่วนที่ 1 และ 4 เนื่องจาก มีกลุ่มตัวอย่างบางส่วนที่ทำการทดลอง ไม่ได้นำมาวิเคราะห์ผล จากการสืียหายของไฟล์ที่ได้จากการสแกนและการพิมพ์แบบ ด้วยวิธีดึงเดิม

จากการศึกษาที่ผ่านการคัดเลือกทั้งหมด 14 เรื่อง ที่เป็น การเปรียบเทียบความแม่นของการพิมพ์แบบรากเทียมด้วยวิธีดึงเดิม และวิธีดึงจิ้กทัล ในกรณีภาวะไร้ฟันบางส่วน พบร้า การศึกษา 6 เรื่อง ให้ผลการพิมพ์แบบด้วยวิธีดึงเดิมมีความแม่นมากกว่าวิธีดึงจิ้กทัล²⁶⁻³¹ การศึกษา 5 เรื่อง ให้ผลการพิมพ์แบบด้วยวิธีดึงจิ้กทัลมีความแม่น

มากกว่าวิธีดึงเดิม^{12,32-35} และการศึกษา 3 เรื่อง ให้ผลทั้งสองวิธีไม่มี ความแตกต่างกันอย่างมีนัยสำคัญ^{22,36,37}

ลักษณะและผลลัพธ์ของการศึกษาที่ผ่านการคัดเลือก แสดงในตารางที่ 4 ผลความแม่นในตารางที่ 4 CI > DI หมายถึง ความ แม่นของการพิมพ์แบบด้วยวิธีดึงเดิม มากกว่าวิธีดึงจิ้กทัล โดยมีค่า ความแตกต่างของระยะห่างระหว่างรากเทียม หรือ ค่าเบี่ยงเบนสามมิติ ของการพิมพ์แบบด้วยวิธีดึงเดิม น้อยกว่าวิธีดึงจิ้กทัล CI ~ DI หมายถึง ความแม่นของการพิมพ์แบบด้วยวิธีดึงเดิม ใกล้เคียงกับวิธีดึงจิ้กทัล โดยมีค่าความแตกต่างของระยะห่างระหว่างรากเทียม หรือ ค่าเบี่ยงเบน สามมิติ ใกล้เคียงกันทั้งสองวิธี และ DI > CI หมายถึง ความแม่นของ การพิมพ์แบบด้วยวิธีดึงจิ้กทัล มากกว่าวิธีดึงเดิม โดยมีค่าความแตกต่าง ของระยะห่างระหว่างรากเทียม หรือ ค่าเบี่ยงเบนสามมิติ ของการ พิมพ์แบบด้วยวิธีดึงจิ้กทัล น้อยกว่าวิธีดึงเดิม

ตารางที่ 3 ผลการประเมินค่างานวิจัยอ้างอิงจาก คิวบุเอดีโอเอส-ซี

Table 3 Risk of bias assessment according to QUADAS-C

การศึกษา	กลุ่มทดสอบ	ความเสี่ยงต่อการมีอคติ				ข้อกังวลเรื่องการบังคับใช้				ความเสี่ยงต่อการมีอคติ			
		(คิวบุเอดีโอเอส-2)				(คิวบุเอดีโอเอส-2)				(คิวบุเอดีโอเอส-ซี)			
		พี	ไอ	อาร์	เอฟ	พี	ไอ	อาร์	เอฟ	พี	ไอ	อาร์	เอฟ
Lin <i>et al.</i> , 2015 ³⁰	[1]	-	+	+	-	+	+	+		-	+	+	-
	[2]	+	+	+	+	+	+	+					
Ajioka <i>et al.</i> , 2016 ²⁶	[1]	+	+	+	+	+	+	+		+	+	+	+
	[2]	+	+	+	+	+	+	+					
Basaki <i>et al.</i> , 2017 ³¹	[1]	+	+	+	+	+	+	+		+	+	+	+
	[2]	+	+	+	+	+	+	+					
Chew <i>et al.</i> , 2017 ²⁸	[1]	+	+	+	+	+	+	+		+	+	+	+
	[2]	+	+	+	+	+	+	+					
Chia <i>et al.</i> , 2017 ²⁹	[1]	+	+	+	+	+	+	+		+	+	+	+
	[2]	+	+	+	+	+	+	+					
Alshawaf <i>et al.</i> , 2018 ²⁷	[1]	+	+	+	+	+	+	+		+	+	+	+
	[2]	+	+	+	+	+	+	+					
Marghalani <i>et al.</i> , 2018 ¹²	[1]	+	+	+	+	+	+	+		+	+	+	+
	[2]	+	+	+	+	+	+	+					
Roig <i>et al.</i> , 2020 ³⁵	[1]	+	+	+	+	+	+	+		-	+	+	-
	[2]	-	+	+	-	+	+	+					
Abduo <i>et al.</i> , 2021 ³²	[1]	+	+	+	+	+	+	+		+	+	+	+
	[2]	+	+	+	+	+	+	+					
Mathey <i>et al.</i> , 2021 ³⁴	[1]	+	+	+	+	+	+	+		+	+	+	+
	[2]	+	+	+	+	+	+	+					
Abou-Ayash <i>et al.</i> , 2022 ³³	[1]	+	+	+	+	+	+	+		+	+	+	+
	[2]	+	+	+	+	+	+	+					
Alpkilic <i>et al.</i> , 2022 ³⁶	[1]	+	+	+	+	+	+	+		+	+	+	+
	[2]	+	+	+	+	+	+	+					
Onoral <i>et al.</i> , 2022 ³⁷	[1]	+	+	+	+	+	+	+		+	+	+	+
	[2]	+	+	+	+	+	+	+					
Tan <i>et al.</i> , 2023 ²²	[1]	+	+	+	+	+	+	+		+	+	+	+
	[2]	+	+	+	+	+	+	+					

คำย่อ: เอส: การเลือกกลุ่มตัวอย่าง (*S*: Sample Selection) ไอ: การทดสอบดัชนี (*I*: Index Test) อาร์: มาตรฐานอ้างอิง (*R*: Reference Standard) เอฟ: การดำเนินงานและเวลา (*F*: Flow and Timing) [1]: การพิมพ์แบบด้วยวิธีดึง [2]: การพิมพ์แบบด้วยวิธีดึงทัล + ความเสี่ยงต่อ - ความเสี่ยงสูง และ ? ความเสี่ยงไม่ชัดเจน

ตารางที่ 4 ลักษณะและผลลัพธ์ของการศึกษาที่ผ่านการคัดเลือก

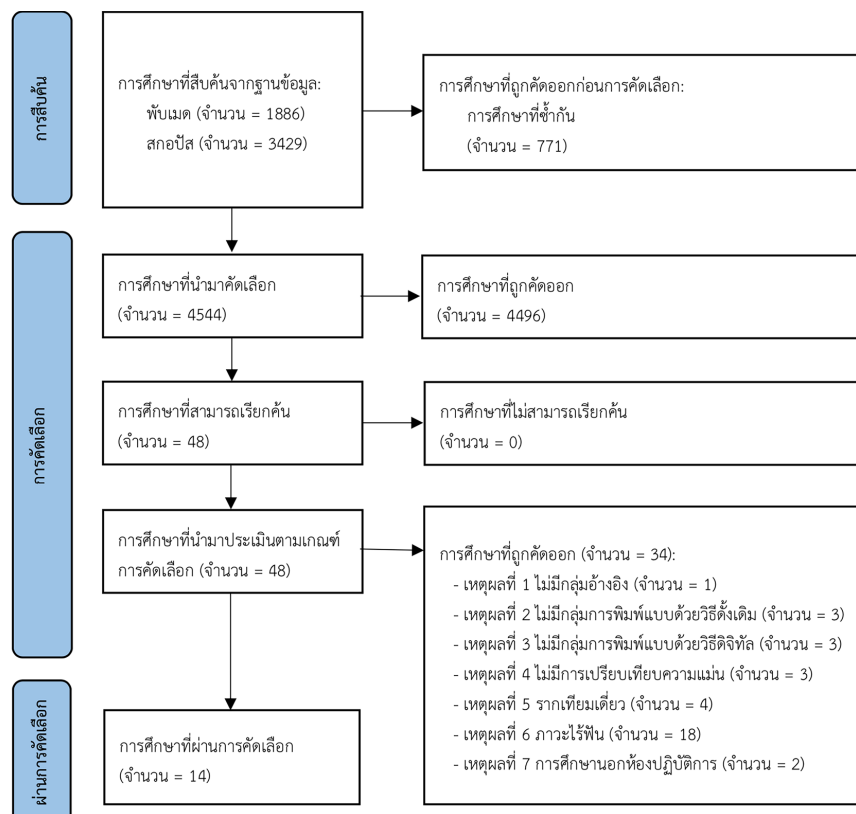
Table 4 Characteristics and outcome of the included studies

Studies	Implant numbers	Implant angulation	Position (Kennedy's Classification)	Implant connection type/ Impression level	Conventional impression technique (CI)	Digital impression technique (DI)	Methodology	Accuracy result
Lin <i>et al.</i> , 2015 ³⁰	2	0°, 15°, 30°, 45°	Posterior mandible (II)	Internal/ Implant-level	Non-splinted, open-tray	iTero	Cl: Lab scanner (Cagenix) Di: Milled cast, Lab scanner Cl, Di: Superimposition	0°, 15°: Cl > Di 30°, 45°: Cl ~ Di
Ajioka <i>et al.</i> , 2016 ²⁶	2	Parallel	Posterior mandible (III)	External/ Implant-level	Non-splinted, open-tray	Lava COS	Cl: Physical CMM Di: 3D Measuring program (Focus Inspection)	Cl > Di
Basaki <i>et al.</i> , 2017 ³¹	4	0°, 20°	Posterior mandible (I)	Internal/ Implant-level	Non-splinted, open-tray	iTero	Cl: Lab scanner (D810, 3Shape) Di: Milled cast, Lab scanner Cl, Di: 3D Measuring program (Quality Control Software)	Cl > Di
Chew <i>et al.</i> , 2017 ²⁸	2	Parallel	Posterior mandible (III)	Internal/ Implant-level	Non-splinted, open-tray	Trios, iTero, True Definition	Cl: Physical CMM Di: 3D Measuring (CAD software)	Cl > Di
Chia <i>et al.</i> , 2017 ²⁹	2	0°, 10°, 20°	Posterior mandible (II)	Internal/ Implant-level	Non-splinted, open-tray	Trios	Cl: Physical CMM Di: 3D Measuring (CAD software)	Cl > Di
Alshawaf <i>et al.</i> , 2018 ²⁷	2	30°	Posterior mandible (II)	Internal/ Implant-level	Splinted, open-tray	Cerec Omnicam, True Definition	Cl: Lab scanner (Activity 880) Di: Milled cast, Lab scanner Cl, Di: Best-fit alignment (Geomagic Control 2015)	Cl > Di
Marghalani <i>et al.</i> , 2018 ¹²	2	30°	Posterior maxilla (III)	Internal/ Implant-level	Splinted, open-tray	Cerec Omnicam, True Definition	Cl: Lab scanner (Activity 880) Cl, Di: Best-fit alignment (Geomagic Control 2015)	Cl > Di
Roig <i>et al.</i> , 2020 ³⁵	2	Parallel	Posterior maxilla (III)	Internal/ Implant-level	Close-tray Splinted, open-tray	Carestream3600, Trios3, Cerec Omnicam, True Definition	Cl: Lab scanner (D800, 3Shape) Cl, Di: 3D Measuring program (Geomagic Control X)	Cl > Di

ตารางที่ 4 ลักษณะและผลลัพธ์ของการศึกษาที่ผ่านการตรวจสอบ (ต่อ)

Table 4 Characteristics and outcome of the included studies (cont.)

Studies	Implant numbers	Implant angulation	Position (Kennedy's Classification)	Implant connection type/ Impression level	Conventional impression technique (CI)	Digital impression technique (DI)	Methodology	Accuracy result
Abduo <i>et al.</i> , 2021 ³²	2	0°, 15°	N/A	Internal/ Implant-level	Splinted, open-tray	Trios 4, Medit 1500, True Definition	CI: Lab scanner (identica T300, Medit) DI: Superimposition (Geomagic Studio)	DI > CI
Mathey <i>et al.</i> , 2021 ³⁴	2	Parallel mandible (II)	Posterior	Internal/ Implant-level	Non-splinted, open-tray	Trios 3	CI: Lab scanner (DWS 7-series) DI: Printed cast, Lab scanner CI, DI: Superimposition (Final surface software)	DI > CI
Abou-Ayash <i>et al.</i> , 2022 ³³	2	Parallel	Anterior/ Posterior maxilla (II, IV)	Internal/ Implant-level	Non-splinted, open-tray	Trios3, Cerec Primescan	CI: Lab scanner (\$600 Arti; Zirkonzahn) CI, DI: 3D Measuring program (GOM Inspect)	DI > CI
Alpkilic <i>et al.</i> , 2022 ³⁶	3 - 7	Parallel	Anterior/ Posterior mandible (I, II, IV)	Internal/ Implant-level	Splinted, open-tray	Carestream3600, Trios3, Aadva, Emerald	CI: Lab scanner (Solutionix C500, Medit) CI, DI: Superimposition (Geomagic Studio)	CI ~ DI
Onoral <i>et al.</i> , 2022 ³⁷	2	0°, 20°	Posterior mandible (II)	Internal/ Implant-level	Close-tray Splinted, open-tray (hex, non-hex)	Cerec Omnicam	CI: Lab scanner (inEOS X5, Dentsply Sirona) CI, DI: Best-fit alignment (Geomagic Control 2014)	0°: CI ~ DI 20°: Open-tray CI > DI > Close-tray CI
Tan <i>et al.</i> , 2023 ²²	2	0°, 10°, 20°	Posterior mandible (III)	Internal/ Implant-level	Non-splinted, open-tray	Trios 3	CI: Physical CMM DI: Printed cast, Physical CMM	0°: CI ~ DI 10°, 20°: CI > DI

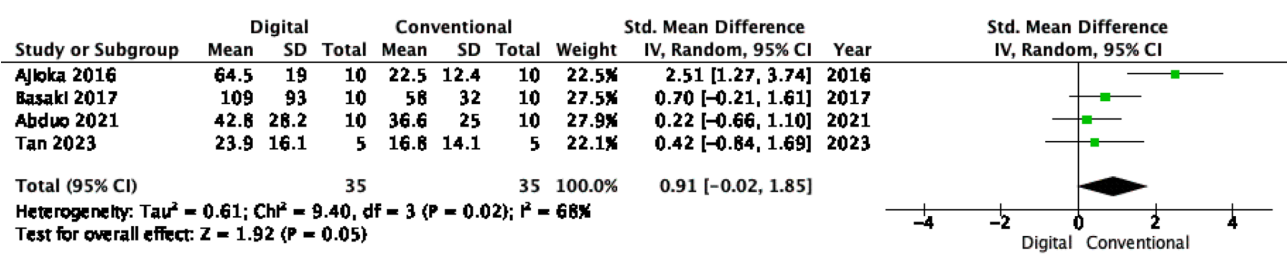


รูปที่ 1 แผนภาพพื้นที่อิโอลเอ็ม 2020

Figure 1 PRISMA 2020 flow diagram

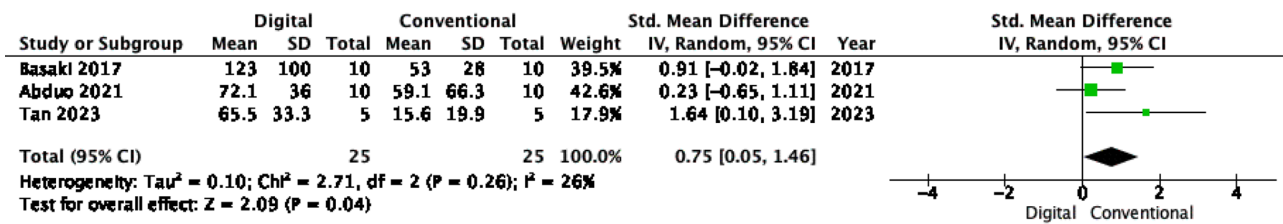
จากการศึกษาที่รวมเข้าในการวิจัย 14 เรื่อง มีการศึกษา 5 เรื่องที่นำมาวิเคราะห์อภิมาน^{22,26,31,32,34} เนื่องจากมีวิธีการวัดความแม่นในการพิมพ์แบบรากเทียมและตัวแปรที่ใช้ในการวัดคล้ายคลึงกัน ซึ่งเป็นปัจจัยที่ส่งผลต่อภาวะความต่างในการวิเคราะห์อภิมาน มีการแบ่งกลุ่มย่อยตามตัวแปรที่ใช้ในการวัดความแม่น โดยมี 4 เรื่องที่ใช้ค่าความแตกต่างของระยะห่างระหว่างรากเทียม^{22,26,31,32} พぶว่าในกรณีที่รากเทียมขนาดกัน และใช้เครื่องสแกนภายในปีของปากเทคนิคคอนโพล็อก ให้ผลการพิมพ์แบบรากเทียมด้วยวิธีดึงเดิม มีความแม่นมากกว่าวิธีดึงจิก โดยมีผลต่างมาตรฐานของค่าเฉลี่ย (standardized mean difference) 0.91 (95% CI: -0.02, 1.85) และมีภาวะความต่างของผลการศึกษา (I²) 68% ($p = 0.05$) (รูปที่ 2) และมี 3 เรื่องใช้ค่าความแตกต่างของระยะห่างระหว่างรากเทียม^{22,31,32} พぶว่าในกรณีที่รากเทียมทำมุ่งกัน 15 – 20 องศา ให้ผลการพิมพ์แบบ

รากเทียมด้วยวิธีดึงเดิม มีความแม่นมากกว่าวิธีดึงจิก โดยมีผลต่างมาตรฐานของค่าเฉลี่ย 0.75 (95% CI: 0.05, 1.46) และมีภาวะความต่าง 26% ($p = 0.04$) (รูปที่ 3) และมี 2 เรื่องที่ใช้ค่าเบี่ยงเบนสามมิติ^{32,34} พぶว่า ความถูกต้องของค่าเบี่ยงเบนสามมิติให้ผลการพิมพ์แบบรากเทียมด้วยวิธีดึงจิก มีความแม่นมากกว่าวิธีดึงเดิม โดยมีผลต่างมาตรฐานของค่าเฉลี่ย -1.49 (95% CI: -2.57, -0.42) และมีภาวะความต่าง 53% ($p = 0.007$) (รูปที่ 4) และความเที่ยงของค่าเบี่ยงเบนสามมิติ ให้ผลการพิมพ์แบบรากเทียมด้วยวิธีดึงจิก มีความแม่นมากกว่าวิธีดึงเดิม โดยมีผลต่างมาตรฐานของค่าเฉลี่ย -0.91 (95% CI: -1.57, -0.25) และไม่มีภาวะความต่าง ($p = 0.007$) (รูปที่ 5). ส่วนการศึกษาที่ไม่ได้นำมาวิเคราะห์อภิมานเนื่องจาก มีภาวะความต่างสูง และได้มีการอธิบายปัจจัยที่ส่งผลต่อภาวะความต่าง แสดงในตารางที่ 5



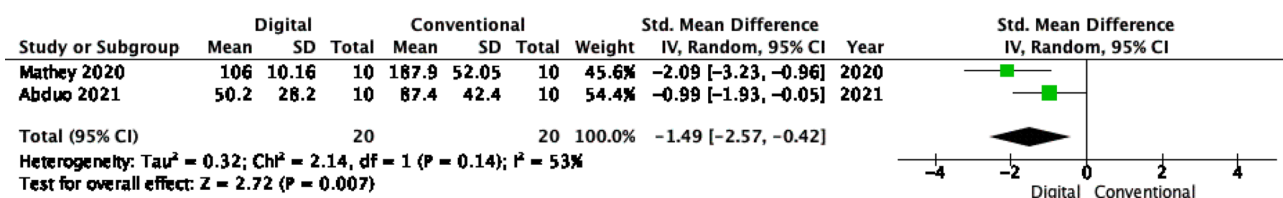
รูปที่ 2 แผนภาพพื้นที่ไม้แสดงค่าความแตกต่างของระยะห่างระหว่างรากเทียมในกรณีที่รากเทียมขนาดกัน

Figure 2 Forest plot of inter-implant distance deviation in case of parallel implants



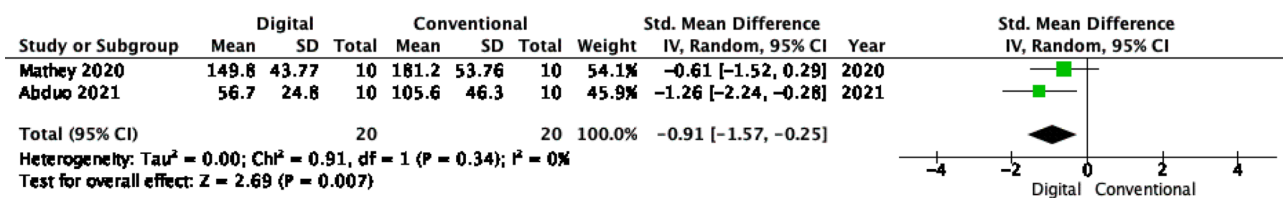
รูปที่ 3 แผนภาพต้นไม้แสดงค่าความแตกต่างของระยะห่างระหว่างรากเทียมในกรณีที่รากเทียมทำมุมกัน 15-20 องศา

Figure 3 Forest plot of inter-implant distance deviation in case of angulated implants (15-20 degrees)



รูปที่ 4 แผนภาพต้นไม้แสดงความถูกต้องของค่าเบี่ยงเบนสามมิติ

Figure 4 Forest plot of three-dimensional deviation (Trueness)



รูปที่ 5 แผนภาพต้นไม้แสดงความเที่ยงของค่าเบี่ยงเบนสามมิติ

Figure 5 Forest plot of three-dimensional deviation (Precision)

มีการศึกษาจำนวน 8 เรื่อง^{12,27,30,31,33,34,36,37} ที่เป็นการศึกษาในกรณีที่เป็นภาวะไร้ฟันบางส่วนด้านท้าย (Distal-extension partial edentulism) ซึ่งจัดอยู่ในเคนเนดี้ ระดับ 1 และ 2 (Kennedy class I and II) ตามการจำแนกโดย ดร. เอด华ร์ด เ肯เนดี้ (Dr. Edward Kennedy) ในปี 1925³⁸ จากการศึกษาในกรณีที่เป็น

ภาวะไร้ฟันบางส่วนด้านท้าย จำนวน 8 เรื่อง พบว่า การศึกษา 3 เรื่อง ให้ผลการพิมพ์แบบ rakak เที่ยมด้วยวิธีดึงเดิม มีความแม่นมากกว่าวิธีดึงทัล^{27,30,31} การศึกษา 3 เรื่อง ให้ผลการพิมพ์แบบ rakak เที่ยมด้วยวิธีดึงทัล มีความแม่นมากกว่าวิธีดึงเดิม^{12,33,34} และการศึกษา 2 เรื่อง ให้ผลทั้งสองวิธีไม่มีความแตกต่างกันอย่างมีนัยสำคัญ^{36,37}

ตารางที่ 5 ปัจจัยที่ส่งผลต่อภาวะความต่าง

Table 5 Factors affecting the heterogeneity

การศึกษา	ปัจจัยที่ส่งผลต่อภาวะความต่าง
Lin et al., 2015 ³⁰	มีการวัดความแม่น โดยใช้รากเทียมตัวแรกเป็นตัวแทนอ้างอิงในการซ้อนทับกันระหว่างชิ้นหล่อท่อคล่องและชิ้นหล่อ อ้างอิง จากนั้นวัดค่าความแตกต่างระหว่างจุดกึ่งกลางของรากเทียมตัวที่สองบนแบบหล่อจำลองทั้งสอง ซึ่งผลที่ได้จะแตกต่างจากการศึกษาอื่น ที่มีการวัดระยะห่างระหว่างรากเทียมสองตัวบนแต่ละแบบจำลอง แล้วนำมารวบรวม เปรียบเทียบค่าความแตกต่างระหว่างรากเทียม ระหว่างชิ้นหล่อท่อคล่องและชิ้นหล่ออ้างอิง
Chew et al., 2017 ²⁸ , Chia et al., 2017 ²⁹	มีการใช้ตัวแทนอ้างอิงที่ทำขึ้นมาเฉพาะบนชิ้นหล่อ เพื่อใช้รัศมีของระยะห่างระหว่างรากเทียมแต่ละตัวเทียบกับตัวแทนอ้างอิง ผลที่ได้จึงแตกต่างจากในการศึกษาอื่น
Alshawaf et al., 2018 ²⁷	ค่าเบี่ยงเบนที่ได้มีการแบ่งประเภทเป็นความถูกต้องและความเที่ยง ซึ่งแตกต่างจากการศึกษาอื่น

ตารางที่ 5 ปัจจัยที่ส่งผลต่อภาวะความต่าง (ต่อ)

Table 5 Factors affecting the heterogeneity (cont.)

การศึกษา	ปัจจัยที่ส่งผลต่อภาวะความต่าง
Onoral et al., 2022 ³⁷	ค่าเบี่ยงเบนที่ได้ไม่มีการแบ่งประเภทเป็นความถูกต้องและความเที่ยง และค่าเบี่ยงเบนที่ได้มีการรายงานผลแยกกันระหว่างรากเทียม 2 ตัว ซึ่งแตกต่างจากใน การศึกษาอื่นที่แสดงผลโดยรวม และในการศึกษามีการออกแบบการทดลองที่มีหลายกรณี ซึ่งให้ผลการทดลองที่แตกต่างกัน
Roig et al., 2020 ³⁵	มีการรายงานผลการศึกษาเป็นแผนภูมิแท่ง โดยไม่มีตัวเลขระบุชัดเจน
Alpkilic et al., 2022 ³⁶	มีการออกแบบการทดลองที่แตกต่าง ได้แก่ จำนวนรากเทียมที่มากกว่าการศึกษาอื่น และ วิธีการพิมพ์แบบรากเทียมด้วยวิธีดิจิทัลที่มีกลุ่มการทดลองมากกว่าหนึ่งกลุ่ม ซึ่งให้ผลการทดลองที่แตกต่างกันในแต่ละกลุ่ม
Marghalani et al., 2018 ¹² , Abou-Ayash et al., 2022 ³³	มีการรายงานผลการศึกษาเป็นค่ามั่นยืนานและพิสัยระหว่างควรรีไฟล์ ซึ่งแตกต่างจากการศึกษาอื่น ข้อมูลไม่เป็นการแจกแจงแบบปกติ และใน การศึกษามีการออกแบบการทดลองที่มีหลายกรณี ซึ่งให้ผลการทดลองที่แตกต่างกัน

บทวิจารณ์

จากการวิเคราะห์อภิมาน พบร่วม ค่าความแตกต่างของระยะห่างระหว่างรากเทียมทั้งในกรณีที่รากเทียมนานกันและกรณีที่รากเทียมทำมุนกัน 15 – 20 องศา ให้ผลการพิมพ์แบบรากเทียมด้วยวิธีดิจิทัล (รูปที่ 2 และ รูปที่ 3) ส่วนค่าเบี่ยงเบนสามมิติทั้งความถูกต้องและความเที่ยง ให้ผลการพิมพ์แบบรากเทียมด้วยวิธีดิจิทัล มีความแม่นมากกว่าวิธีดิจิทัล (รูปที่ 4 และ รูปที่ 5) ผลการศึกษามีภาวะความต่างน้อยถึงค่อนข้างชัดเจน ซึ่งเป็นผลจากปัจจัยต่างๆ ในทางระเบียบวิธีวิจัย เช่น จำนวนกลุ่มตัวอย่าง วิธีวัดความแม่น เป็นต้น อย่างไรก็ตาม จำนวนการศึกษาที่นิ่นมาวิเคราะห์อภิมานมีจำนวนน้อยมาก เนื่องจาก การศึกษาส่วนใหญ่มีการออกแบบการศึกษาที่แตกต่างกัน และส่งผลต่อภาวะความต่าง ซึ่งยังต้องการการศึกษาเพิ่มเติมในอนาคต

การศึกษาส่วนใหญ่ ให้ผลความแม่นของการพิมพ์แบบรากเทียม ในกรณีภาวะไร้ฟันบางส่วน ทั้งวิธีดิจิทัล มีความแม่นมากกว่าวิธีดิจิทัล²⁶⁻³¹ และ วิธีดิจิทัล มีความแม่นมากกว่าวิธีดิจิทัล^{12,32-35} จำนวนไกล์เคียงกัน ซึ่งเป็นการปฏิเสธสมมติฐานการวิจัย จะเห็นว่า การศึกษาที่ให้ผลวิธีดิจิทัล มีความแม่นมากกว่าวิธีดิจิทัลส่วนใหญ่ ศึกษาในปีที่ก่อนมากกว่า ซึ่งเครื่องสแกนภายนอกช่องปากมีการพัฒนาของการสแกนเพิ่มมากขึ้น ส่งผลให้มีแนวโน้มที่ดีต่อความแม่นใน การสแกน³⁹⁻⁴¹ การศึกษาใน 2-3 ปีที่ผ่านมา มีแนวโน้มที่การพิมพ์แบบรากเทียมด้วยวิธีดิจิทัล มีความแม่นมากกว่าหรือเทียบเทียบได้กับการพิมพ์แบบด้วยวิธีดิจิทัล ในกรณีสภาวะไร้ฟันบางส่วน^{9,12,32-36} จะเห็นได้ว่าใน การศึกษาปี 2015-2021 ยังมีการใช้เครื่องสแกนเทคนิคแอคทิฟเวฟฟรอนต์แซมพลิง เช่น ลาวาซีโอเอส (Lava C.O.S., USA) และ ทรูเดฟพินิชัน (True Definition, 3M, USA) ที่ยังต้องมีการสเปรย์ลงในพื้นผิวที่จะทำการสแกน ซึ่งยากต่อการควบคุมความหนาและความสี่เอมอ ส่งผลให้เกิดความผิดพลาด

ในการสแกนได้⁴² ส่วนในการศึกษาปี 2022-2023 เครื่องสแกนภายนอกช่องปากที่ใช้ส่วนใหญ่เป็นเทคนิคไฟฟ้าร่วม และไม่จำเป็นต้องสเปรย์ลงบนพื้นผิว ก่อนการสแกน อีกทั้งรุ่นของเครื่องสแกนภายนอกช่องปากและโปรแกรมในการประมวลผลที่ใหม่กว่ามีแนวโน้มที่ส่งผลดีต่อความแม่นเพิ่มมากขึ้น⁴³

อีกทั้ง ขั้นตอนในการพิมพ์แบบด้วยวิธีดิจิทัล มีการสะสมข้อผิดพลาดจากขั้นตอนที่มาก ซึ่งส่งผลต่อความแม่นของการพิมพ์แบบรากเทียมได้ไม่ว่าจะเป็น การนำตัวถอดแบบรอยพิมพ์ (Impression coping) จากภายนอกช่องปากมาใส่ในรอยพิมพ์ การเข้มต่อตัวจำลองรากเทียม (implant analog) กระบวนการตรวจสอบชิ้นห่อรากเทียม (implant verification cast) การทดสอบของวัสดุพิมพ์แบบ การขยายตัวของปูน และขั้นตอนที่เพิ่มมากขึ้นจากการใช้เครื่องสแกนภายนอกช่องปากเพื่อนำไปวัดความแม่น⁴⁴ อย่างไรก็ตาม การพิมพ์แบบด้วยวิธีดิจิทัล มีปัจจัยที่ส่งผลต่อความแม่น เช่น กัน ไม่ว่าจะเป็น ชนิดของตัวถอดแบบรอยพิมพ์แบบดิจิทัล (scan body) โปรแกรมที่ใช้ในการสแกนและการวิเคราะห์สร้างภาพสามมิติ และโปรแกรมที่ใช้ในการวัดความแม่น⁴⁵

นอกจากนี้ ความแตกต่างกันของวิธีที่ใช้ในการประเมินความแม่น ระหว่างกลุ่มที่พิมพ์แบบรากเทียมด้วยวิธีดิจิทัล และวิธีดิจิทัล ยังส่งผลต่อความแม่นในการพิมพ์แบบรากเทียมด้วยเช่นกัน วิธีการเปรียบเทียบความแม่นที่นิยมใช้ในการศึกษาต่าง ๆ เช่น วิธีการซ่อนทับภาพ (best-fit algorithm) และ วิธีการวัดระยะห่าง (zero method)^{8,46} โดยวิธีการซ่อนทับภาพ เป็นการนำไฟล์นามสกุล .STL (Stereolithography) มาซ่อนทับกัน (superimpose) เพื่อหาค่าเบี่ยงเบนสามมิติ ในโปรแกรมที่ใช้ในการวิเคราะห์ ซึ่งการซ่อนทับกันของสองไฟล์นี้จะทำให้เกิดข้อผิดพลาดได้ อีกทั้ง ผลลัพธ์ค่าเบี่ยงเบนสามมิติจะให้ผลลัพธ์เป็นภาพรวม ไม่สามารถบอกได้ว่าความแตกต่าง

เกิดขึ้นในแนวแกน x, y, หรือ z และค่าที่ได้จะมีหัวค่าบวกและค่าลบ ที่แตกต่างกันทำให้เกิดการหักล้างกันของความแตกต่างได้ การศึกษา ส่วนมากจึงแก่ปัญหาด้วยการคำนวณเป็นค่ารากที่สองของค่าเฉลี่ย ความคลาดเคลื่อนกำลังสอง (root mean square errors) แทน⁸ ส่วนวิธีการวัดระยะห่าง จะเป็นการวัดระยะห่างเป็นเส้นตรง (linear distance) ระหว่างรากเทียม บนแบบจำลองทดสอบ (experimental model) ลบกับ ระยะห่างที่เป็นเส้นตรงระหว่างรากเทียม บนแบบ จำลองอ้างอิง (reference model) วิธีนี้จะสามารถวิเคราะห์ข้อมูล ได้โดยไม่ต้องผ่านการนำไฟล์มาช้อนทับกันในโปรแกรม จึงสามารถ ลดข้อผิดพลาดจากการวัดในขั้นตอนนี้ได้ ซึ่งเครื่องมือที่ใช้ในการวัด ในวิธีการวัดระยะห่าง สามารถทำได้ทั้งการใช้เครื่องมือวัดสามมิติ (coordinate measuring machine, CMM) หรือ การเข้าโปรแกรม สำหรับการวัด^{19,47}

ชนิดของเครื่องสแกนภายนอกช่องปาก และโปรแกรมในการวัดที่แตกต่างกัน มีความแม่นในการวัดแตกต่างกัน เช่น เครื่อง ไอแสกน (iScan, 5-6 μm) และทิวตี้ (Activity 880, 10 μm) หรีเชพ (3Shape, 4-10 μm) เป็นต้น^{8,10,31,48-51} เครื่องสแกนภายนอกช่องปาก มีความแม่นสูงเมื่อเทียบกับเครื่องสแกนภายนอกช่องปาก เนื่องจาก เครื่องสแกนภายนอกช่องปากมีจำนวนกล้องและแกนหมุนใน การสแกนที่มากกว่า จึงถูกนำมาใช้ในการเป็นแหล่งอ้างอิง สำหรับ งานวิจัยในห้องปฏิบัติการ เพื่อเปรียบเทียบความแม่นระหว่างการ พิมพ์แบบรากเทียมด้วยวิธีดังเดิมและเครื่องสแกนภายนอกช่องปาก⁶⁻¹⁰ นอกจากนี้ ยังมีเครื่องมือวัดสามมิติ ซึ่งมีความแม่นสูง ถูกนำมาใช้เป็น แหล่งอ้างอิงมาตรฐาน (gold standard reference) สำหรับการวัด เพื่อเปรียบเทียบความแม่น เครื่องมือวัดสามมิติ มีค่าความผิดพลาด ที่ยอมรับได้สูงสุด (maximum permissible error) คือ $1.9 + 3L / 1000 \mu\text{m}$ อ้างอิงจากองค์กรระหว่างประเทศว่าด้วยการมาตรฐาน (ISO 10360-2:2009 geometrical product specifications (GPS))⁵²

ดังนั้นการศึกษาที่ใช้เครื่องมือวัดสามมิติ ในการวัดระยะห่างระหว่างรากเทียมบนแบบหล่อที่ได้จากการพิมพ์รากเทียมด้วย วิธีดังเดิม มีแนวโน้มที่ส่งผลต่อความแม่นของการพิมพ์แบบด้วยวิธี ดังเดิมมากกว่า เนื่องจาก เครื่องมือวัดสามมิติ มีความแม่นมากกว่า เครื่องสแกนในห้องปฏิบัติการ (laboratory scanner) และการใช้ โปรแกรมในการวิเคราะห์⁵³

อีกทั้ง ในการศึกษาที่มีการกลึงขึ้นหล่อ (milled cast) จากกลุ่มที่การพิมพ์แบบรากเทียมด้วยเครื่องสแกนภายนอกช่องปาก เพื่อนำมาวัดความแม่น ยังมีแนวโน้มให้เกิดข้อผิดพลาดที่เพิ่มมากขึ้น ได้ในกลุ่มนี้ จากขั้นตอนที่เพิ่มมากขึ้น⁵⁴ นอกจากนี้ยังมีปัจจัยต่าง ๆ ที่ส่งผลต่อความแม่นของการพิมพ์แบบรากเทียม ไม่ว่าจะเป็น จำนวน และมุ่งระหว่างรากเทียม ชนิดข้อต่อของตัวถอดแบบร้อยพิมพ์ (connection type of impression coping) ระดับการพิมพ์แบบ (impression level) และตำแหน่งของรากเทียม

มีการศึกษาเปรียบเทียบการพิมพ์แบบรากเทียมทั้งสองวิธี ในกรณีที่มุ่งระหว่างรากเทียมแตกต่างกัน (0, 15, 30 และ 45 องศา) พบว่า การพิมพ์แบบด้วยวิธีดิจิทัล มีความแม่นน้อยกว่าวิธีดังเดิม ในกรณีที่รากเทียมทำมุมกัน 0 และ 15 องศา ในขณะที่ ทั้งสองวิธีไม่ แตกต่างกัน ในกรณีที่รากเทียมทำมุมกัน 30 และ 45 องศา มุ่งระหว่าง รากเทียมที่เพิ่มมากขึ้น ทำให้วัสดุพิมพ์แบบถูกกดทับมากขึ้นระหว่าง พิมพ์แบบ และเกิดการคืนตัวอย่างสมบูรณ์กลับมาได้ยากกว่า ทำให้ เกิดความผิดพลาดได้เพิ่มมากขึ้นในการพิมพ์แบบด้วยวิธีดังเดิม ปัญหา เหล่านี้เมื่อกีดขึ้นกับการใช้เครื่องสแกนในช่องปาก อย่างไรก็ตาม การที่มุ่งเพิ่มขึ้นอาจส่งผลต่อความแม่นในการสแกนได้เช่นกัน เช่น ในบางบริเวณที่ติดอยู่ด้านใต้ส่วนคอ (undercut) ของตัวถอดแบบ รอยพิมพ์แบบดิจิทัล หรือบริเวณด้านหลังที่เข้าถึงได้ยาก นอกจากนี้ ยังมุ่งระหว่างรากเทียมเพิ่มมากขึ้น ทำให้ระยะห่างระหว่างรากเทียม เพิ่มขึ้นตามมา ส่งผลให้เกิดการสะสมข้อผิดพลาดเพิ่มขึ้นจากจำนวน ภาพในการสแกนที่เพิ่มมากขึ้น³⁰

อย่างไรก็ตาม มีการศึกษาที่ให้ผลแตกต่างจากการศึกษานี้ เป็นการศึกษาในกรณีที่รากเทียมทำมุมกันไม่เกิน 20 องศา พบว่า การพิมพ์แบบทั้งสองวิธีไม่แตกต่างกันในกรณีที่รากเทียมนานกัน ในขณะที่ การพิมพ์แบบด้วยวิธีดังเดิมมีความแม่นมากกว่าวิธีดิจิทัล ในกรณีที่รากเทียมทำมุมกัน 10-20 องศา^{22,37} อาจเป็นเพราะมุ่งระหว่าง รากเทียมไม่ได้แตกต่างกันมากจนทำให้วัสดุพิมพ์แบบไม่สามารถ คืนตัวกลับมาได้ และไม่ได้ส่งผลต่อการสแกนมากนัก^{22,31,32} นอกจากนี้ การเชื่อมติดกันของตัวถอดแบบร้อยพิมพ์ส่งผลดีต่อความแม่น ในการพิมพ์แบบเมื่อรากเทียมมีการทำมุมกัน^{44,55} อย่างไรก็ตาม รากเทียมในภาวะไร้ฟันบางส่วนมีจำนวนไม่มาก เมื่อเทียบกับใน ภาวะไร้ฟัน มีการศึกษากล่าวว่า ในกรณีที่มีจำนวนสองหรือสาม รากเทียม มุ่งระหว่างรากเทียมไม่ได้ส่งผลต่อความแม่นในการพิมพ์ แบบ ส่วนในกรณีที่มีรากเทียมจำนวนมาก (multiple implants) รากเทียมที่เอียง (angled implants) มีความแม่นน้อยกว่า รากเทียมที่ตรง (straight implants)⁴⁴ ทั้งจำนวนและมุ่งระหว่าง รากเทียมส่งผลต่อความแม่นในการพิมพ์แบบของทั้งสองวิธี แต่จะ เทื่อนผลได้ชัดเมื่อมีจำนวนและมุ่งระหว่างรากเทียมที่มากขึ้น

การศึกษาส่วนใหญ่ที่ร่วบรวมเข้ามาในการวิจัย มีชนิด ข้อต่อของตัวถอดแบบร้อยพิมพ์ เป็นแบบข้อต่อภายในที่มีการยึด (internal connection with engagement) ซึ่งเป็นหนึ่งในปัจจัย ที่ส่งผลต่อความแม่นในการพิมพ์แบบด้วยวิธีดังเดิม โดยเฉพาะกรณี ที่รากเทียมเอียง⁵⁶ อย่างไรก็ตาม การศึกษาเหล่านี้ มุ่งระหว่างสอง รากเทียมน้อยกว่า 20 องศา จึงไม่ได้ส่งผลต่อความแม่นของการ พิมพ์แบบมากนัก⁵⁷ มีการศึกษาที่การพิมพ์แบบรากเทียมด้วยวิธี ดังเดิมแบบเปิดถาดพิมพ์ชนิดข้อต่อที่ไม่มีการยึด (non-hexed open-tray) มีความแม่นของการพิมพ์แบบมากกว่า แบบเปิดถาด พิมพ์ชนิดข้อต่อที่มีการยึด (hexed open-tray) แต่ไม่มีความแตกต่าง

อย่างมีนัยสำคัญ อาจเป็นเพื่อการพิมพ์แบบ rak เที่ยมด้วยวิธีดังเดิมแบบ เปิดโอกาสพิมพ์ชนิดข้อต่อที่ไม่มีการยึด สามารถดึงรอยพิมพ์ออกได้ง่ายกว่า ส่งผลให้เกิดการบิดเบี้ยวของรอยพิมพ์ลดลง นอกจากนี้ การพิมพ์แบบ rak เที่ยมด้วยวิธีดังเดิม โดยเทคนิคเปิดโอกาสพิมพ์หั้งสองชนิด มีความ แม่นยำมากกว่าเทคนิคปิดโอกาสพิมพ์ โดยเฉพาะเมื่อ rak เที่ยมทำมุ่งกัน 20 องศา อาจเป็นเพื่อการเทคนิคปิดโอกาสพิมพ์เกิดการบิดเบี้ยวของ รอยพิมพ์ และมีการถอดใส่ตัวถอดแบบรอยพิมพ์ลงในรอยพิมพ์³⁷ อย่างไรก็ตาม ใน การศึกษานี้มีจำนวนสองรากเที่ยม ในกรณีที่มีจำนวน รากเที่ยมเพิ่มขึ้น ชนิดของข้อต่ออาจส่งผลต่อความแม่นในการพิมพ์ แบบเพิ่มมากขึ้น ซึ่งยังต้องการการศึกษาเพิ่มเติมต่อไป⁵⁶

ตำแหน่งของ rak เที่ยมในกรณีที่เป็นภาวะไร้ฟันบางส่วน ด้านท้าย ระดับ 1 และ 2 บริเวณด้านหลังทั้งในขากรรไกรบนและล่าง สามารถเข้าถึงในการสแกนได้ยาก อีกทั้ง บริเวณด้านท้ายยังมีการ สะสมของข้อผิดพลาดเพิ่มมากขึ้นจากจำนวนภาพที่ทับช้อนต่อกัน ไปเพิ่มมากขึ้น^{58,59} แต่ยังมีการศึกษาไม่มากนักในกรณีที่เป็นภาวะ ไร้ฟันบางส่วนด้านท้ายที่比べยบเทียบความแม่นของการพิมพ์แบบ rak เที่ยมทั้งสองวิธี จึงยังไม่เห็นความแตกต่างอย่างชัดเจนของผล การศึกษา และยังต้องการการศึกษาเพิ่มเติมต่อไป

ข้อจำกัดในการศึกษา ได้แก่ การศึกษาที่รวมรวมเข้ามา มีภาวะความต่างมาก ทั้ง การออกแบบการวิจัย, วัสดุอุปกรณ์และ วิธีการที่แตกต่างกัน และปัจจัยต่าง ๆ ทำให้มีการศึกษาจำนวนไม่ มากที่นิ่มมากวิเคราะห์หรือภูมิาน การศึกษาที่ไม่สามารถนำมายิเคราะห์ หรือภูมิานได้ จึงทำการวิเคราะห์เชิงพรรณนา (descriptive analyses) แทน อย่างไรก็ตาม ยังมีความต้องการการศึกษาที่มีการวัดความแม่น ด้วยวิธีการที่เป็นมาตรฐานแบบเดียวกันเพิ่มมากขึ้นในการศึกษาใน อนาคต เพื่อสามารถนำมายิเคราะห์หรือภูมิานร่วมกันได้มากยิ่งขึ้น เช่น วิธีการวัดความแม่นในวิธีการพิมพ์แบบ rak เที่ยมด้วยวิธีดังเดิม โดยนำขึ้นหล่อที่ได้มาสแกนด้วยเครื่องสแกนภายนอกช่องปาก เพื่อ ช้อนทับกับไฟล์ที่ได้จากการพิมพ์แบบ rak เที่ยมด้วยวิธีดิจิทัลด้วย เครื่องสแกนภายนอกช่องปาก จะได้ผลความแม่นเป็นค่าเบี่ยงเบน สามมิติ เป็นต้น นอกจากนี้ยังต้องการการศึกษาเพิ่มเติมนอกห้อง ปฏิบัติการ เพื่อให้ได้ผลที่แม่นยำมากขึ้นและสามารถนำไปประยุกต์ ใช้ในการพิมพ์แบบ rak เที่ยมต่อไป

บทสรุป

ผลการศึกษาส่วนใหญ่ให้ความแม่นของการพิมพ์แบบ rak เที่ยมด้วยวิธีดังเดิมดีกว่าวิธีดิจิทัล และ วิธีดิจิทัลดีกว่าวิธีดังเดิม จำนวนใกล้เคียงกัน แต่เนื่องจากเทคโนโลยีของเครื่องสแกน ภายนอกช่องปากมีการพัฒนามากขึ้น เป็นปัจจัยหนึ่งที่ส่งผลให้ การ ศึกษาใน 2-3 ปีหลัง ให้ความแม่นของการพิมพ์แบบ rak เที่ยมด้วย วิธีดิจิทัลดีกว่าวิธีดังเดิม ในกรณีที่มีจำนวนรากเที่ยม 2-3 รากเที่ยม และทำมุ่งกันน้อยกว่า 20 องศา สามารถพิมพ์แบบ rak เที่ยมได้ทั้งวิธี

ดังเดิมและวิธีดิจิทัล การศึกษานี้มีข้อเสนอแนะให้มีการวัดความแม่น ด้วยวิธีการที่เป็นมาตรฐานแบบเดียวกันเพิ่มมากขึ้นในการศึกษาใน อนาคต เพื่อสามารถนำมายิเคราะห์หรือภูมิานร่วมกันได้มากยิ่งขึ้น

ผู้เขียนเปิดเผยว่าไม่มีการสนับสนุนทางการเงิน และผลประโยชน์ที่ ทับซ้อนที่อาจเกิดขึ้นทั้งทางตรงและทางอ้อมสำหรับการดำเนินงานวิจัย ขั้นตอนการใช้งานวิจัย หรือบทความ

เอกสารอ้างอิง

- Buzayan MM, Yunus NB. Passive Fit in Screw Retained Multi-unit Implant Prosthesis Understanding and Achieving: A Review of the Literature. *J Indian Prosthodont Soc* 2014;14(1):16-23.
- Ma T, Nicholls JL, Rubenstein JE. Tolerance measurements of various implant components. *Int J Oral Maxillofac Implants* 1997; 12(3):371-5.
- Logozzo S, Zanetti E, Franceschini G, Kilpela A, Mäkinen A. Recent advances in dental optics – Part I: 3D intraoral scanners for restorative dentistry. *Optics and Lasers in Engineering* 2014;54:203-21.
- Richert R, Goujat A, Venet L, Viguerie G, Viennot S, Robinson P, et al. Intraoral Scanner Technologies: A Review to Make a Successful Impression. *J Healthc Eng* 2017;2017:8427595.
- Lee SJ, Kim SW, Lee JJ, Cheong CW. Comparison of Intraoral and Extraoral Digital Scanners: Evaluation of Surface Topography and Precision. *Dent J (Basel)* 2020;8(2).
- Borbola D, Berkei G, Simon B, Romanszky L, Sersli G, DeFee M, et al. *In vitro* comparison of five desktop scanners and an industrial scanner in the evaluation of an intraoral scanner accuracy. *J Dent* 2023;129:104391.
- Ke Y, Zhang Y, Wang Y, Chen H, Sun Y. Comparing the accuracy of full-arch implant impressions using the conventional technique and digital scans with and without prefabricated landmarks in the mandible: An in vitro study. *J Dent* 2023;135:104561.
- Amin S, Weber HP, Finkelman M, El Rafie K, Kudara Y, Papaspyridakos P. Digital vs. conventional full-arch implant impressions: a comparative study. *Clin Oral Implants Res* 2017;28(11):1360-7.
- Hashemi AM, Hashemi HM, Siadat H, Shamshiri A, Afrashtehfar KI, Alikhasi M. Fully Digital versus Conventional Workflows for Fabricating Posterior Three-Unit Implant-Supported Reconstructions: A Prospective Crossover Clinical Trial. *Int J Environ Res Public Health* 2022;19(18).
- Papaspyridakos P, Gallucci GO, Chen CJ, Hanssen S, Naert I, Vandenberghe B. Digital versus conventional implant impressions for edentulous patients: accuracy outcomes. *Clin Oral Implants Res* 2016;27(4):465-72.
- ISO. ISO International Organization for Standardization. 5725-1:2003. Accuracy (trueness and precision) of measurement methods and results. Part 1: general principles and definitions.. 5725-1:2003.
- Marghalani A, Weber HP, Finkelman M, Kudara Y, El Rafie K,

- Papaspyridakos P. Digital versus conventional implant impressions for partially edentulous arches: An evaluation of accuracy. *J Prosthet Dent* 2018;119(4):574-9.
13. Rutkūnas V, Gečiauskaitė A, Jegelevičius D, Vaitiekūnas M. Accuracy of digital implant impressions with intraoral scanners. A systematic review. *Eur J Oral Implantol* 2017;10 Suppl 1:101-20.
 14. Rutkunas V, Gedrimiene A, Adaskevicius R, Al-Haj Husain N, Özcan M. Comparison of the Clinical Accuracy of Digital and Conventional Dental Implant Impressions. *Eur J Prosthodont Restor Dent* 2020;28(4):173-81.
 15. Lee SJ, Betensky RA, Gianneschi GE, Gallucci GO. Accuracy of digital versus conventional implant impressions. *Clinical oral implants research* 2015;26(6):715-9.
 16. Albánchez-González MI, Brinkmann JC, Peláez-Rico J, López-Suárez C, Rodríguez-Alonso V, Suárez-García MJ. Accuracy of Digital Dental Implants Impression Taking with Intraoral Scanners Compared with Conventional Impression Techniques: A Systematic Review of *In Vitro* Studies. *Int J Environ Res Public Health* 2022;19(4).
 17. Alikhasi M, Alsharbaty MHM, Moharrami M. Digital Implant Impression Technique Accuracy: A Systematic Review. *Implant Dentistry* 2017;26(6):929-35.
 18. Zhang YJ, Shi JY, Qian SJ, Qiao SC, Lai HC. Accuracy of full-arch digital implant impressions taken using intraoral scanners and related variables: A systematic review. *Int J Oral Implantol (Berl)* 2021;14(2):157-79.
 19. Menini M, Setti P, Pera F, Pera P, Pesce P. Accuracy of multi-unit implant impression: traditional techniques versus a digital procedure. *Clin Oral Investig* 2018;22(3):1253-62.
 20. Papaspyridakos P, Vazouras K, Chen YW, Kotina E, Natto Z, Kang K, et al. Digital vs Conventional Implant Impressions: A Systematic Review and Meta-Analysis. *J Prosthodont* 2020;29(8):660-78.
 21. Drancourt N, Auduc C, Mouget A, Mouminoux J, Auroy P, Veyrune JL, et al. Accuracy of Conventional and Digital Impressions for Full-Arch Implant-Supported Prostheses: An *In Vitro* Study. *J Pers Med* 2023;13(5).
 22. Tan S, Tan MY, Wong KM, Maria R, Tan KBC. Comparison of 3D positional accuracy of implant analogs in printed resin models versus conventional stone casts: Effect of implant angulation. *J Prosthodont* 2023.
 23. Liberati A, Altman DG, Tetzlaff J, Mulrow C, Gøtzsche PC, Ioannidis JPA, et al. The PRISMA statement for reporting systematic reviews and meta-analyses of studies that evaluate health care interventions: explanation and elaboration. *J Clin Epidemiol* 2009;62(10):e1-e34.
 24. Yang B, Mallett S, Takwoingi Y, Davenport CF, Hyde CJ, Whiting PF, et al. QUADAS-C: A Tool for Assessing Risk of Bias in Comparative Diagnostic Accuracy Studies. *Ann Intern Med* 2021;174(11):1592-9.
 25. Page MJ, McKenzie JE, Bossuyt PM, Boutron I, Hoffmann TC, Mulrow CD, et al. The PRISMA 2020 statement: an updated guideline for reporting systematic reviews. *BMJ* 2021;372:n71.
 26. Ajioka H, Kihara H, Odaira C, Kobayashi T, Kondo H. Examination of the Position Accuracy of Implant Abutments Reproduced by Intra-Oral Optical Impression. *PLoS One* 2016;11(10):e0164048.
 27. Alshawaf B, Weber HP, Finkelman M, El Rafie K, Kudara Y, Papaspyridakos P. Accuracy of printed casts generated from digital implant impressions versus stone casts from conventional implant impressions: A comparative *in vitro* study. *Clin Oral Implants Res* 2018;29(8):835-42.
 28. Chew AA, Esguerra RJ, Teoh KH, Wong KM, Ng SD, Tan KB. Three-Dimensional Accuracy of Digital Implant Impressions: Effects of Different Scanners and Implant Level. *Int J Oral Maxillofac Implants* 2017;32(1):70-80.
 29. Chia VA, Esguerra RJ, Teoh KH, Teo JW, Wong KM, Tan KB. *In Vitro* Three-Dimensional Accuracy of Digital Implant Impressions: The Effect of Implant Angulation. *Int J Oral Maxillofac Implants* 2017;32(2):313-21.
 30. Lin WS, Harris BT, Elathamma EN, Abdel-Azim T, Morton D. Effect of implant divergence on the accuracy of definitive casts created from traditional and digital implant-level impressions: an *in vitro* comparative study. *Int J Oral Maxillofac Implants* 2015;30(1):102-9.
 31. Basaki K, Alkumru H, De Souza G, Finer Y. Accuracy of Digital vs Conventional Implant Impression Approach: A Three-Dimensional Comparative *In Vitro* Analysis. *Int J Oral Maxillofac Implants* 2017;32(4):792-9.
 32. Abduo J, Palamara JEA. Accuracy of digital impressions versus conventional impressions for 2 implants: an *in vitro* study evaluating the effect of implant angulation. *Int J Implant Dent* 2021;7(1):75.
 33. Abou-Ayash S, Mathey A, Gäumann F, Mathey A, Donmez MB, Yilmaz B. *In vitro* scan accuracy and time efficiency in various implant-supported fixed partial denture situations. *Journal of Dentistry* 2022;127:104358.
 34. Mathey A, Brägger U, Joda T. Trueness and Precision Achieved With Conventional and Digital Implant Impressions: A Comparative Investigation of Stone Versus 3-D Printed Master Casts. *Eur J Prosthodont Restor Dent* 2021;29(3).
 35. Roig E, Garza LC, Álvarez-Maldonado N, Maia P, Costa S, Roig M, et al. *In vitro* comparison of the accuracy of four intraoral scanners and three conventional impression methods for two neighboring implants. *PLoS One* 2020;15(2):e0228266.
 36. Alpkılıç D, Değer S. *In Vitro* Comparison of the Accuracy of Conventional Impression and Four Intraoral Scanners in Four Different Implant Impression Scenarios. *Int J Oral Maxillofac Implants* 2022;37(1):39-48.
 37. Önöral Ö, Kurtulmus-Yılmaz S, Keskin A, Ozan O. Influence of

- the Angulation and Insertion Depth of Implants on the 3D Trueness of Conventional and Digital Impressions. *Int J Oral Maxillofac Implants* 2022;37(6):1186-94.
38. Ulmer FC, Jr. Kennedy-Applegate classification of partially edentulous dental arches. *Nadl j.* 1983;30(3):37-40.
39. Amornvit P, Rokaya D, Sanohkan S. Comparison of Accuracy of Current Ten Intraoral Scanners. *Biomed Res Int* 2021;2021:2673040.
40. Kaya G, Bilmenoglu C. Accuracy of 14 intraoral scanners for the All-on-4 treatment concept: a comparative *in vitro* study. *J Adv Prosthodont* 2022;14(6):388-98.
41. Róth I, Czigola A, Fehér D, Vitai V, Joós-Kovács GL, Hermann P, et al. Digital intraoral scanner devices: a validation study based on common evaluation criteria. *BMC Oral Health* 2022;22(1):140.
42. Hategan SI, Ionel TF, Goguta L, Gavrilovici A, Negruțiu ML, Jivanescu A. Powder and Powder-Free Intra-Oral Scanners: Digital Impression Accuracy. *Prim Dent J* 2018;7(2):40-3.
43. Schmalzl J, Róth I, Borbély J, Hermann P, Vecsei B. The impact of software updates on accuracy of intraoral scanners. *BMC Oral Health* 2023;23(1):219.
44. Lee H, So JS, Hochstedler JL, Ercoli C. The accuracy of implant impressions: A systematic review. *J Prosthet Dent* 2008;100(4):285-91.
45. Marques S, Ribeiro P, Falcão C, Lemos BF, Ríos-Carrasco B, Ríos-Santos JV, et al. Digital Impressions in Implant Dentistry: A Literature Review. *Int J Environ Res Public Health* 2021;18(3).
46. Jemt T, Hjalmarsson L. *In vitro* measurements of precision of fit of implant-supported frameworks. A comparison between “virtual” and “physical” assessments of fit using two different techniques of measurements. *Clin Implant Dent Relat Res* 2012;14 Suppl 1:e175-82.
47. Gintauta A, Papatriantafyllou N, Aljehani M, Att W. Accuracy of computerized and conventional impression-making procedures for multiple straight and tilted dental implants. *Int J Esthet Dent* 2018;13(4):550-65.
48. D'Haese R, Vrombaut T, Roeykens H, Vandeweghe S. In Vitro Accuracy of Digital and Conventional Impressions for Full-Arch Implant-Supported Prostheses. *J Clin Med* 2022;11(3).
49. Huang R, Liu Y, Huang B, Zhang C, Chen Z, Li Z. Improved scanning accuracy with newly designed scan bodies: An *in vitro* study comparing digital versus conventional impression techniques for complete-arch implant rehabilitation. *Clin Oral Implants Res* 2020;31(7):625-33.
50. Ma B, Yue X, Sun Y, Peng L, Geng W. Accuracy of photogrammetry, intraoral scanning, and conventional impression techniques for complete-arch implant rehabilitation: an *in vitro* comparative study. *BMC Oral Health* 2021;21(1):636.
51. Tohme H, Lawand G, Chmielewska M, Makhzoume J. Comparison between stereophotogrammetric, digital, and conventional impression techniques in implant-supported fixed complete arch prostheses: An *in vitro* study. *J Prosthet Dent* 2023;129(2):354-62.
52. ISO. ISO International Organization for Standardization. 10360-2:2009. Geometrical product specifications (GPS). Acceptance and reverification tests for coordinated measuring machines (CMM). Part 2: CMMs used for measuring linear dimensions. . 10360-2:2009.
53. Galeva H, Uzunov T, Sofronov Y, Todorov G. Evaluation of the accuracy of the optical scanners used in the modern dental practice. *J Phys: Conf Ser* 2020;1492:012017.
54. Etemad-Shahidi Y, Qallandar OB, Evenden J, Alifui-Segbaya F, Ahmed KE. Accuracy of 3-Dimensionally Printed Full-Arch Dental Models: A Systematic Review. *J Clin Med* 2020; 9(10):3357.
55. Tsagkalidis G, Tortopidis D, Mpikos P, Kaisarlis G, Koidis P. Accuracy of 3 different impression techniques for internal connection angulated implants. *J Prosthet Dent* 2015;114(4):517-23.
56. Richi MW, Kurtulmus-Yilmaz S, Ozan O. Comparison of the accuracy of different impression procedures in case of multiple and angulated implants. *Head & Face Medicine* 2020;16(1):9.
57. Mpikos P, Kafantaris N, Tortopidis D, Galanis C, Kaisarlis G, Koidis P. The effect of impression technique and implant angulation on the impression accuracy of external- and internal-connection implants. *Int J Oral Maxillofac Implants* 2012;27(6):1422-8.
58. Braian M, Wennerberg A. Trueness and precision of 5 intraoral scanners for scanning edentulous and dentate complete-arch mandibular casts: A comparative *in vitro* study. *J Prosthet Dent* 2019;122(2):129-36.e2.
59. Spagopoulos D, Kaisarlis G, Spagopoulos F, Halazonetis DJ, Güth JF, Papazoglou E. *In Vitro* Trueness and Precision of Intraoral Scanners in a Four-Implant Complete-Arch Model. *Dent J (Basel)* 2023;11(1):27.